

# Miinoitteen tehokkuuden arviointi

Niko Sairo

## Perustieteiden korkeakoulu

Kandidaatintyö  
Espoo 10.05.2021

## Vastuupettaja

Prof. Ahti Salo

## Työn ohjaaja

DI Juho Roponen

Copyright © 2021 Niko Sairo

The document can be stored and made available to the public on the open internet pages of Aalto University.  
All other rights are reserved.

---

**Tekijä** Niko Sairo

---

**Työn nimi** Miinoitteen tehokkuuden arviointi

---

**Koulutusohjelma** Teknillinen fysiikka ja matematiikka

---

**Pääaine** Matematiikka ja systeemitieteet

**Pääaineen koodi** SCI3029

---

**Vastuupettaja** Prof. Ahti Salo

---

**Työn ohjaaja** DI Juho Roponen

---

**Päivämäärä** 10.05.2021

**Sivumäärä** 20+10

**Kieli** Suomi

---

### Tiivistelmä

Merimiinat ovat merisodankäynnin välineitä, joilla pyritään vahingoittamaan tai upottamaan aluksia ja estämään merialueiden käyttöä. Merimiinoja on käytetty tehokkaasti useissa sodissa. Varman saatavuuden ja suhteellisen edullisen hinnan ansiosta merimiinat ovat myös hyödynnettävissä valtioille, joilla on pieni sotilasbudjetti.

Tässä kandidaatintyössä tutustuttiin merimiinatyyppeihin, miinanraivaukseen ja merimiinoitteen mallintamisen historiaan. Kirjallisuuskatsauksen pohjalta luotiin ohjelmisto, jolla voidaan arvioida merimiinoitteen tehokkuutta. Miinoituksen tehokkuuden arviointimenetelmänä käytettiin Monte Carlo -simulaatiota, jossa generoidaan suuri määrä satunnaisia reittejä miinoitteen läpi. Ohjelmisto mahdollistaa miinoitteen tehokkuuden arvioinnin ohjelmiston käyttäjän valitsemalla kartalla. Miinan räjähdysen aiheuttamaa vahinkoa arvioitiin miinan räjähdyksestä syntyvän paineiskun ja kaasukuplan avulla.

Ohjelmistoa testattiin esimerkkitarkastelussa, jossa satunnaisesti generoitu miinoite luotiin käsin piirrettyyn karttakuvaan. Kyseisen miinoitteen tehokkuutta tarkasteltiin ajamalla miinoitteen läpi 10 000 neljän reitin sarjaa. 40 000 reitin Monte Carlo -simulaatio osottautui laskennallisesti raskaaksi, sillä ohjelmiston ajamiseen kului aikaa lähes puolitoista tuntia. Esimerkkitarastelua varten luotu miinoite säilytti vaarallisuutensa sarjan loppupään reiteillä ja yksikään miinoista ei räjähtänyt vahingoittamatta alusta. Miinoitteen tehokkuuden arviointi ei ole yksiselitteistä ja siksi useamman tehokkuusmittarin käyttäminen on perusteltua. Lisäksi Monte Carlo -simulaatiossa on punnittava, mikä on riittävä iteraatioiden lukumäärä. Iteraatioiden lukumäärän kasvattaminen parantaa tehokkuusmittarien tarkkuutta, mutta samalla laskenta-aika kasvaa.

---

**Avainsanat** merimiinoite, miinanraivaus, MATLAB, Monte Carlo -simulaatio ,  
Simple Initial Threat

---

---

**Author** Niko Sairo

---

**Title** Evaluation of Minefield Efficiency

---

**Degree programme** Engineering Physics and Mathematics

---

**Major** Mathematics and Systems Sciences

**Code of major** SCI3029

---

**Supervisor** Prof. Ahti Salo

---

**Advisor** M.Sc. Juho Roponen

---

**Date** 10.05.2021

**Number of pages** 20+10

**Language** Finnish

---

**Abstract**

Naval mine is a naval warfare device whose purpose is to damage or sink ships or to block the usage of a designated sea area. Naval mines have been used effectively in several wars. Good availability and relatively low price allow even countries with low military budget to utilize naval mines.

This thesis explored naval mine types, minesweeping, and history of naval minefield modeling. A tool was also built to evaluate minefield efficiency. The used evaluation method was Monte Carlo simulation in which a large amount of routes are generated through the minefield. The software makes it possible to evaluate a minefield on a map selected by the software user. Mine damage is assessed by the shock wave and gas bubble caused by the explosion.

The software was tested with an example where a random minefield was generated for a hand drawn map. The efficiency of the minefield was evaluated by running 10 000 series of four paths. A 40 000 path Monte Carlo simulation proved to be computationally heavy, because the run time was almost one and a half hours. The minefield proved to maintain the effectiveness and not a single mine exploded without damaging any ships. The evaluation of minefield efficiency is not unambiguous and as a result, the use of multiple measures of effectiveness is justified. In addition, one should consider what is the right number of iterations of Monte Carlo simulation. Increasing the number of iterations leads to more accurate results but it also increases the run time.

---

**Keywords** naval minefield, minesweeping, MATLAB, Monte Carlo simulation, Simple Initial Threat

---

# Sisällysluettelo

Tiivistelmä	3
Tiivistelmä (englanniksi)	4
Sisällysluettelo	5
1 Johdanto	6
2 Tutkimuksen tausta	6
2.1 Miinoitteiden mallinnus . . . . .	7
3 Malli	8
4 Karttakuvan käsittely ja reittien generointi	12
5 Esimerkki ohjelman käytöstä	14
6 Yhteenveto	17

# 1 Johdanto

Merimiinat ovat merisodankäynnin välineitä, joiden käytöllä pyritään vahingoittamaan tai upottamaan aluksia ja estämään merialueiden käyttöä. Merimiinat ovat yksinkertaisen toimintaperiaatteen vuoksi merisodankäynnin välineiksi suhteellisen edullisia ja niitä on käytetty tehokkaasti useissa sodissa (Reinbach, 2007). Useat valtiot valmistavat merimiinoja, mikä on johtanut siihen, että niiden saatavuus kansainvälisessä asekaupassa on hyvä. Hyvän saatavuuden ja edullisen hinnan ansiosta merimiinat ovat pientenkin sotilasbudjetin omaavien valtioiden hyödynnettävissä (Romberger, 1996). Merimiinoite koostuu yhdestä tai useammasta merialueelle sijoitetusta merimiinasta, jotka voivat erota ominaisuuksiltaan. Merimiinoitteen suunnittelulla pystytään edistämään miinoitteesta saatavaa hyötyä. Merimiinoitteen tehokkuuden arviointiin soveltuva työkalu tukee suunnitteluprosessia antamalla informaatiota suunnittelun tuloksista.

Merimiinoitteiden tarkka mallintaminen on haastavaa, mistä johtuen malleissa päädytään usein tekemään mallia yksinkertaistavia oletuksia tai arvioita. Yleisin malleissa esiintyvä yksinkertaistus on, että miinojen välisiä vuorovaikutuksia ei huomioida. Merimiinoitteet voivat myös koostua useista ominaisuuksiltaan eroavista merimiinoista, mitä ei olla huomioitu vanhemmissa malleissa. Joitakin mallintamiseen liittyviä ongelmia on pyritty ratkaisemaan hyödyntämällä Monte Carlo -simulaatiota, mutta tarkkojen tulosten saanti Monte Carlo -simulaationa on laskennallisesti raskasta.

Tässä kandidaatintyössä ei arvioida mitään olemassaolevaa miinoitetta, vaan työn tarkoituksena on luoda ohjelma, jolla pystytään arvioimaan miinoitteen tehokkuutta yleisemmin. Ohjelma mahdollistaa käyttäjän valitseman miinoitteen tehokkuuden arvioinnin käyttäjän valitsemassa vesistössä. Ohjelma mahdollistaa miinojen erojen huomioinnin räjähdäineen massan ja herätteen kantaman osalta. Miinoitteen muodostavien miinojen sijainnin oletetaan olevan eksakti. Arviointimentelmänä käytetään Monte Carlo -simulaatiota, jossa generoidaan suuri määrä satunnaisia reittejä miinoitetussa vesistössä. Generoiduilla reiteillä koetuista miinakontakteista voidaan muodostaa jakaumia, jotka antavat informaatiota miinoituksen tehokkuudesta. Tutkimuksessa keskitytään kiinnitettyihin heräte- ja kosketusmiinoin. Lisäksi miinojen ylikulkuominaisuutta ja miinojen keskinäisiä vuorovaikutuksia ei huomioida. Ylikululla viitataan miinan ominaisuuteen, jossa miina ei räjähdä ensimmäisen aluksen kohdalla, vaan esimerkiksi vasta viidennen aluksen kohdalla.

## 2 Tutkimuksen tausta

Merimiinat voidaan jaotella eri luokkiin esimerkiksi niiden toimintaperiaatteen tai sijainnin mukaan. Toimintaperiaatteen mukaan merimiinat voidaan jakaa kosketus- ja herätemiinoihin. Kosketusmiinat laukeavat aluksen fyysisestä kosketuksesta. Herätemiinat laukeavat aluksen aiheuttamasta herätteestä tai herätteiden yhdistelmästä. Herätemiinan teho perustuu räjähdysten luomaan vedenalaiseseen paineiskuun. Yleisimpiä herätetyyppejä ovat ääni-, paine- ja magneettiherätteet. Ääniherätteellä varustettu miina reagoi aluksen liikkumisen synnyttämään ääneen. Paineherätteellä

varustettu miina reagoi paineen muutokseen, joka aiheutuu aluksen liikkuaessaan syrjäyttämästä vesimäärästä. Magneettiherätteellä varustettu miina reagoi paikallisen magneettikentän muutokseen, joka aiheutuu ohi kulkevasta aluksesta. Herätemiinojen etuna kosketusmiinoiniin verrattuna on, että niiden ei tarvitse koskettaa alusta. Täten ne voivat lauetta ja vahingoittaa paljon kauempana sijaitsevaa alusta. (Levie, 1992)

Sijainnin mukaan merimiinat voidaan jakaa kelluviin ja ankkuroituihin miinoiniin sekä pohjamiinoiniin. Kelluvat miinat päästetään vapaasti ajelehtimaan merialueelle. Niiden ongelmana kuitenkin on, että niillä on riski aiheuttaa vahinkoa siviileille ja vesistöä miinoittaneelle taholle johtuen kontrolloinnin puutteesta. Ankkuroidut miinat puolestaan kiinnitetään meren pohjaan vaijerilla, jota kutsutaan syvyytinvaijeriksi. Kosketusmiinat joudutaan usein ankkuroimaan lähelle veden pintaa, jotta kontakti alukseen olisi mahdollinen. Tämä tekee kosketusmiinoista alttiimpia mekaaniselle miinanraivaukselle. Herätemiinat voidaan ankkuroida huomattavasti kauemmas vedenpinnasta ja riittävän matalissa vesissä ne voidaan myös laskea merenpohjaan, jolloin niistä voidaan sijainnin mukaan käyttää nimitystä pohjamiina. (Levie, 1992)

Miinanraivaus on miinantorjunnan keino, jossa miinat tehdään vaarattomaksi purkamalla tai räjäyttämällä ne kontrolloidusti. Miinanraivaustapa riippuu paljon raivattavien miinojen tyypistä. Mekaanisessa miinanraivauksessa miinanraivaajaksi kutsuttu alus vetää perässään punnuksilla ja kohoilla varustettua vaijeria, johon on kiinnitetty yksi tai useampia leikkureita. Leikkureiden on määrä katkaista syvyytinvaijeri, jolla kosketusmiina on kiinnitettynä meren pohjaan. Syvyytinvaijerin katketessa miina nousee pintaan, minkä jälkeen se voidaan tehdä vaarattomaksi. Heräterauvauksessa puolestaan pyritään simuloimaan herätemiinojen laukaisevaa herätettä ja näin räjäyttämään miinat turvallisesti. Miinoja voidaan myös raivata tykistötulella ja sukeltamalla. (Reinbach, 2007)

Miinanraivauksen vaikeuttamiseksi on myös kehitelty menetelmiä. Esimerkiksi yhdistettyjen herätteiden käyttäminen herätemiinoissa hankaloittaa raivausta. Herätemiinoiniin voidaan myös ohjelmoida ylikulkuja, jolloin miina räjähtää esimerkiksi vasta viidennen herätteen aiheuttavan aluksen kohdalla.

## 2.1 Miinoitteiden mallinnus

Miinoitteita on mallinnettu yksinkertaistetusti erinäisissä merisodankäyntiä laajemmin kuvaavissa malleissa. Näistä yksi esimerkki on Yhdysvaltojen merivoimien aikanaan käyttämä Enhanced Naval Warfare Gaming System (ENWGS). Kyseisessä mallissa miinojen tarkkaan sijaintiin ei oteta kantaa, vaan miinoituksen ja aluksen välisiä vuorovaikutuksia arvioidaan miinoituksen pinta-alan, aluksen miinoituksessa kulkeman matkan ja miinojen herätteen kantaman avulla. Mikäli alus on vaikutuksessa miinan kanssa, miina ja alus poistetaan mallista, ellei alus ole määritetty miinanraivaajaksi.

Kehittyneemmät mallit keskittyvät miinoitteen suunnitteluun, miinanraivaukseen tai molempiin. Miinoitteiden suunnitteluun käytettyjä malleja ovat muunmuassa Uncountered Minefield Planning Model (UMPM) ja Analytical Countered Minefield Planning Model (ACMPM). UMPM huomioi miinan ja aluksen välisen etäisyyden, kun arvioidaan miinan räjähdysalueen aiheuttamaa vahinkoa

(Romberger, 1996). ACMPPM on kuin UMPM, mutta lisäksi se pystyy käsittelemään useista eri miinatyypeistä luotuja miinoitteita ja suunnittelussa voidaan myös huomioida vastapuolen miinantorjuntaa (Washburn ja Kress, 2009).

Miinantorjuntaan keskittyviä malleja puolestaan käytetään raivaussuunnitelmien luomiseen ja testaamiseen. Käytettyjä malleja ovat muun muassa Navy's Non Uniform Coverage Evaluator (NUCEVAL), Uniform Coverage Planner (UCPLAN), Cognitive Planning Aid (COGNIT) ja MIXER. NUCEVAL arvioi sille syötettyä raivaussuunnitelmaa, kun taas UCPLAN tulostaa raivaussuunnitelman halutulle puhdistustasolle. NUCEVAL ja UCPLAN ovat nykystandardeilla liian yksinkertaisia malleja, sillä ne eivät käsittele informaatiota miinojen lukumääristä ja tyypeistä. COGNIT on malli, joka huomioi mainitut yksityiskohdat sekä mahdollistaa vastapuolen miinantorjunnan huomioimisen. COGNITin ongelma on, että sillä voidaan simuloida vain yhdenlaisia miinatyypppejä ja miinanraivaajia kerralla. (Romberger, 1996) MIXER on malli, jota voidaan hyödyntää useista erilaisista miinatyypeistä koostuvien miinoitteiden raivausten suunnitteluun. MIXER tarjoaa mahdollisuuden luodun raivaussuunnitelman arviointiin ja se voi myös muodostaa tehokkaita raivaussuunnitelmia. (Washburn, 1995) Näiden mallien miinojen ja miinanraivaajien väliset vuorovaikutuksen vastaavat UMPM:ssä määritellyt miinojen ja miinanraivaajien välisiä vuorovaikutuksia. Edellä esiintyvien mallien lisäksi on luotu malleja, jotka mahdollistavat miinoitteiden ja miinantorjunnan tarkemman simuloinnin. Yksi tällaisista malleista on Total Mine Simulation System (TMSS) (Timothy ja Floore, 2011). TMSS:n ongelmana on, että se on yksinkertaistettumpiin malleihin verrattuna hidas, mikä rajaa sen käyttökohteita.

Miinoituksen tehokkuutta on pyritty arvioimaan erilaisilla tehokkuutta kuvaavilla mittareilla. Eräs yksinkertainen tehokkuusmittari on Simple Initial Threat (SIT), joka tarkoittaa todennäköisyyttä sille, että ensimmäinen miinoituksen läpi kulkeva alus uppoaa tai vahingoittuu miinan vaikutuksesta (Redmayne, 1996). SIT:n ongelmana on, että se ei anna informaatiota ensimmäisen aluksen jälkeen miinoituksen läpi kulkeviin aluksiin kohdistuvasta uhkasta. Miinantorjunnassa käytettyjä tehokkuusmittareita ovat muun muassa miinoitteen raivaamiseen vaadittu työmäärä, puhdistustason keskiarvo ja raivauksessa syntyneiden uhrien odotusarvo. Vaikkakin miinoitteen suunnittelu ja miinantorjunnan suunnittelu eivät tähtää samaan päämäärään, ne ovat vahvasti linkittyneenä toisiinsa peliteorian näkökulmasta, missä miinoittaja voi yrittää huomioida raivaajan vastatoimet, raivaaja voi yrittää huomioida vastatoimien vastatoimet ja niin edelleen (Washburn ja Kress, 2009). Kyse on asetelmasta miinoittaja vastaan raivaaja, jossa toistaiseksi raivaaja on ollut alakynnessä.

### 3 Malli

Tässä työssä käytetään tätä työtä varten kehitettyä mallia, joka pohjautuu UMPM:ään hyödyntämällä samoja parametreja, kuten miinan herätteen kantamaa ja miinan vahinkokäyrää. Mallissa miinan oletetaan räjähtävän varmasti, mikäli aluksen ja miinan välinen etäisyys on miinan herätteen kantamaa pienempi. Miinan räjähdysto-



dennäköisyys on

$$P_a(x) = \begin{cases} 1, & \text{jos } x \leq d \\ 0, & \text{muuten,} \end{cases} \quad (1)$$

missä miinan ja aluksen etäisyys on  $x$  ja miinan herätteen kantama on  $d$ . Myös raivauksen oletetaan onnistuvan varmasti, mikäli miina ei räjähdä ( $P_a(x) = 0$ ), aluksen raivaussäde on vähintään yhtä suuri kuin miinan vedenpinnalle projisoidun sijainnin ja aluksen välinen etäisyys ja aluksen raivaussyvyys on vähintään yhtä suuri kuin miinan syvyys. Miinan raivauksen onnistumisen todennäköisyys on

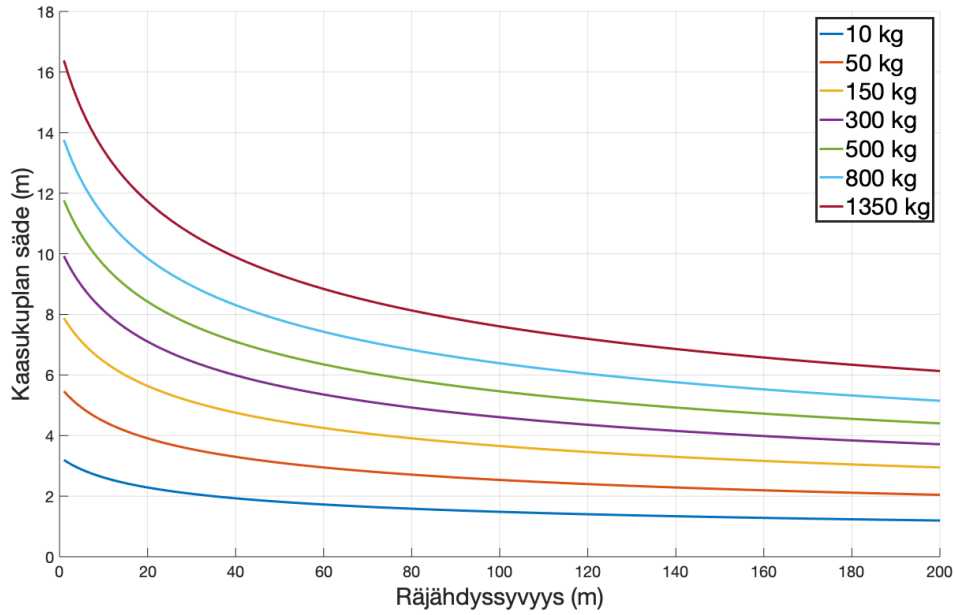
$$P_s(x_{2d}, h) = \begin{cases} 1, & \text{jos } P_a(x) = 0, \ x_{2d} \leq s_{2d} \text{ ja } h \leq s_h \\ 0, & \text{muuten,} \end{cases} \quad (2)$$

missä  $x_{2d}$  on miinan vedenpinnalle projisoidun sijainnin ja aluksen välinen etäisyys,  $h$  on miinan syvyys,  $s_{2d}$  on aluksen raivaussäde ja  $s_h$  on aluksen raivaussyvyys.

Miinan räjähdysten vaikutuksia arvioitaessa aluksen ja miinan välisenä etäisyytenä käytetään miinan herätteen kantamaa. Miinan räjähtäessä miinakontaktit voidaan karkeasti jakaa kosketusräjähdysiksi ja kosketuksettomiin räjähdysiksi. Kosketusräjähdyksessä miinan räjähdys aiheuttaa reiän aluksen runkoon tai miina räjähtää niin lähellä alusta, että alus joutuu vuorovaikutukseen miinan räjähdysten synnyttämän kaasukuplan kanssa. Molemmista kosketusräjähdysiksi luokiteltavissa tapauksissa seuraukset alukselle ovat tuhoisat. Kaasukuplan maksimisäde noudattaa kaavaa

$$R_{pmax} = 1.53 \sqrt[3]{\frac{m}{1 + 0.1H}}, \quad (3)$$

missä  $m$  on räjähdemateriaalin massa ja  $H$  on syvyys, jossa räjähdys tapahtuu. (Szturomski, 2015) Kaasukuplan maksimisäteen arvoja on esitelty kuvassa 1.



Kuva 1: Kaasukuplan maksimisäde  $R_{pmax}$  räjähdemäärän ja räjähdysyvyyden funktiona (Szturomski, 2015).

Merivoimien kosketusmiinoissa käytetyt räjähdemäärät vaihtelevat 50 kilogrammasta 200 kilogrammaan ja herätemiinoissa käytetyt räjähdemäärät vaihtelevat 80 kilogrammasta 750 kilogrammaan (Merisotilaan käsikirja, 2010). Kuvasta (1) havaitaan, että jopa 500 kilogramman räjähdemäärällä kaasukuplan maksimisäde jää alle kymmenen metrin, kun räjähdysyvyys on kymmenen metriä. Täten karkeasti arvioiden yli kymmenen metrin päässä räjähdyksestä sijaitsevien alusten kokemia vaikutuksia voidaan arvioida pelkästään miinan räjähdysen aiheuttaman paineiskun avulla. Räjähdysen ollessa alle kaasukuplan säteen päässä aluksesta, kaasukuplan aiheuttama vahinko tulisi ottaa huomioon. Kaasukuplan aiheuttamaa vahinkoa on haastavaa arvioida numeerisesti, mutta aluksen lähikontaktissa kokema paine on kuitenkin laskennallista paineiskua suurempi (Kiciński ja Szturomski, 2020). Tässä mallissa kaasukuplan vaikutusta arvioidaan asettamalla kaasukuplan kanssa vuorovaikutuksessa olevan aluksen kokema paine niin suureksi, että se upottaa aluksen. Räjähdysen aiheuttamalle paineiskulle on kokeellisesti määritetty erilaisia kaavoja ja vakioita joita esitellään taulukossa 1.

Taulukko 1: Tutkijoiden käyttämiä kaavoja ja vakioita räjähdysen aiheuttaman maksimipaineen arvioimisessa trinitrotolueenille (TNT).

Nro	Kaava	Parametrien kuvaukset	Esittäjä ja vuosi
1	$p_{max} = 52.3 \left( \frac{\sqrt[3]{m}}{R} \right)^{1.13}$ [MPa]	$m$ on räjähddeineen massa (kg) ja $R$ on etäisyys räjähdysen keskipisteestä (m)	R.Cole 1498 (Kiciński ja Szturomski, 2020)
2	$p_{max} = 21000 \left( \frac{\sqrt[3]{m}}{R} \right)^{1.13}$ [psi]	$m$ on räjähddeineen massa (lb) ja $R$ on etäisyys räjähdysen keskipisteestä (ft)	A.H. Keil (Keil, 1961)
3	$p_{max} = P_c \left( \frac{a_c}{R} \right)^{1.13}$ [MPa]	$a_c = \sqrt[3]{\frac{3m}{4\pi\rho_{TNT}}}$ on palloksi muotoillun räjähddeineen säde (m), $P_c$ on räjähddeineen tiheydestä riippuva vakio ja $R$ on etäisyys räjähdysen keskipisteestä (m)	Geers & Hunter (Geers ja Hunter, 2001)

Mallissa miinan aiheuttamaa vahinkoa arvioidaan miinan räjähdysen aiheuttaman paineiskun (MPa) avulla

$$p_{max} = \begin{cases} 1420 \left[ \frac{\sqrt[3]{\frac{3m}{4\pi 1520}}}{x} \right]^{1.13}, & \text{jos } x > R_{pmax} \\ 10 \cdot 1420 \left[ \frac{\sqrt[3]{\frac{3m}{4\pi 1520}}}{x} \right]^{1.13}, & \text{jos } x \leq R_{pmax}, \end{cases} \quad (4)$$

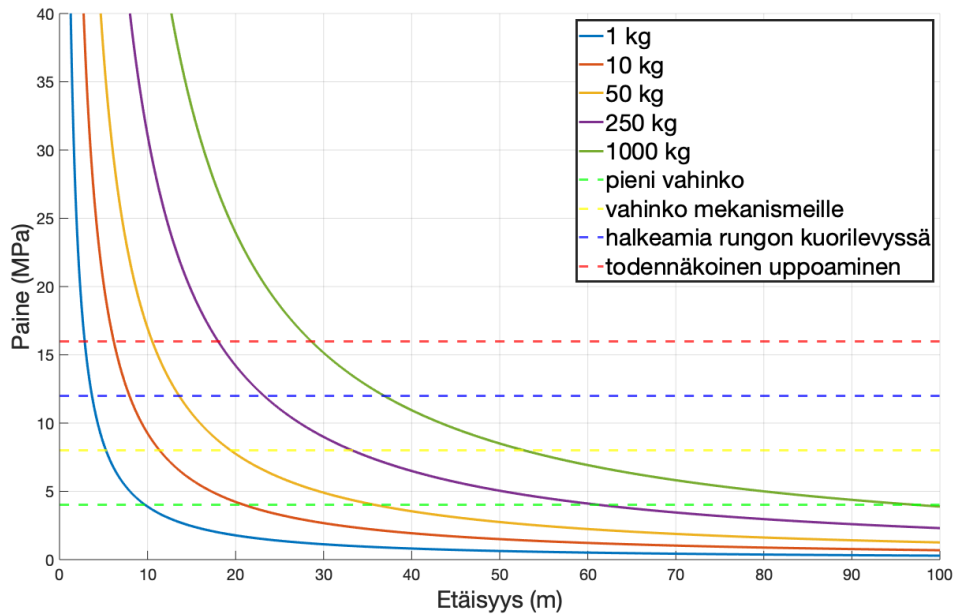
missä  $x$  on miinan ja aluksen välinen etäisyys räjähdysketkellä ja  $m$  on räjähddeineen massa. Mallissa käytetään TNT:tä, jonka tiheys on  $1520 \text{ kg/m}^3$  ja sitä vastaava vakio  $P_c = 1420 \text{ MPa}$ . Paineisku mukailee taulukon 1 kolmatta kaavaa, kun aluksen etäisyys räjähdysketkestä on kaasukuplan maksimisädettä suurempi. Tapauksessa, jossa  $x \leq R_{pmax}$ , paineiskun suuruudeksi on approksimoitu kymmenkertainen arvo etäisyydellä  $x$ . Tämän kaavan valintaan päädyttiin, koska se on tuorein ja mahdollistaisi myös paineiskun arvioinnin eri räjähdysaineilla ja räjähdysaineen tiheyksillä. Paineiskun avulla voidaan määritellä vahinkoa kuvaava kategoriamuuttuja  $D$ , joka on esitelty taulukossa 2.

Taulukko 2: Vahinkoa kuvaava kategoriamuuttuja  $D$  ja kategoriaan luokitellun paineiskun vaikutuksen kuvaus.

Paineisku (MPa)	$D$	Paineiskun vaikutus
$> 16$	1	todennäköinen uppoaminen
12 – 16	0.75	halkeamia rungon kuorilevyssä
8 – 12	0.5	vahinko mekanismeille
4 – 8	0.25	pieni vahinko
$< 4$	0	ei vahinkoa sota-aluksille

Kuvassa 2 esitetään taulukon 1 kolmannen kaavan mukainen paineiskun maksimiarvo ja tätä vastaava aluksen kokema vahinko  $D$ . Laskettaessa aluksen reitillä

kokemia vuorovaikutuksia, koettu vahinko on koettua paineiskua vakaampi mittari, sillä koettu vahinko jättää liian pienet paineiskut huomioimatta ja skaalaa todella suuret paineiskut samanarvoisiksi muiden paineiskujen kanssa, jotka riittäisivät todennäköisesti pottamaan aluksen.



Kuva 2: Paineiskun  $p_{max}$  maksimiarvo etäisyyden  $R$  ja räjähdeaineen massan  $m$  funktiona. Kuva kertoo myös erisuuruisten paineiskujen vaikutuksista sotilasaluksiin.

## 4 Karttakuvan käsittely ja reittien generointi

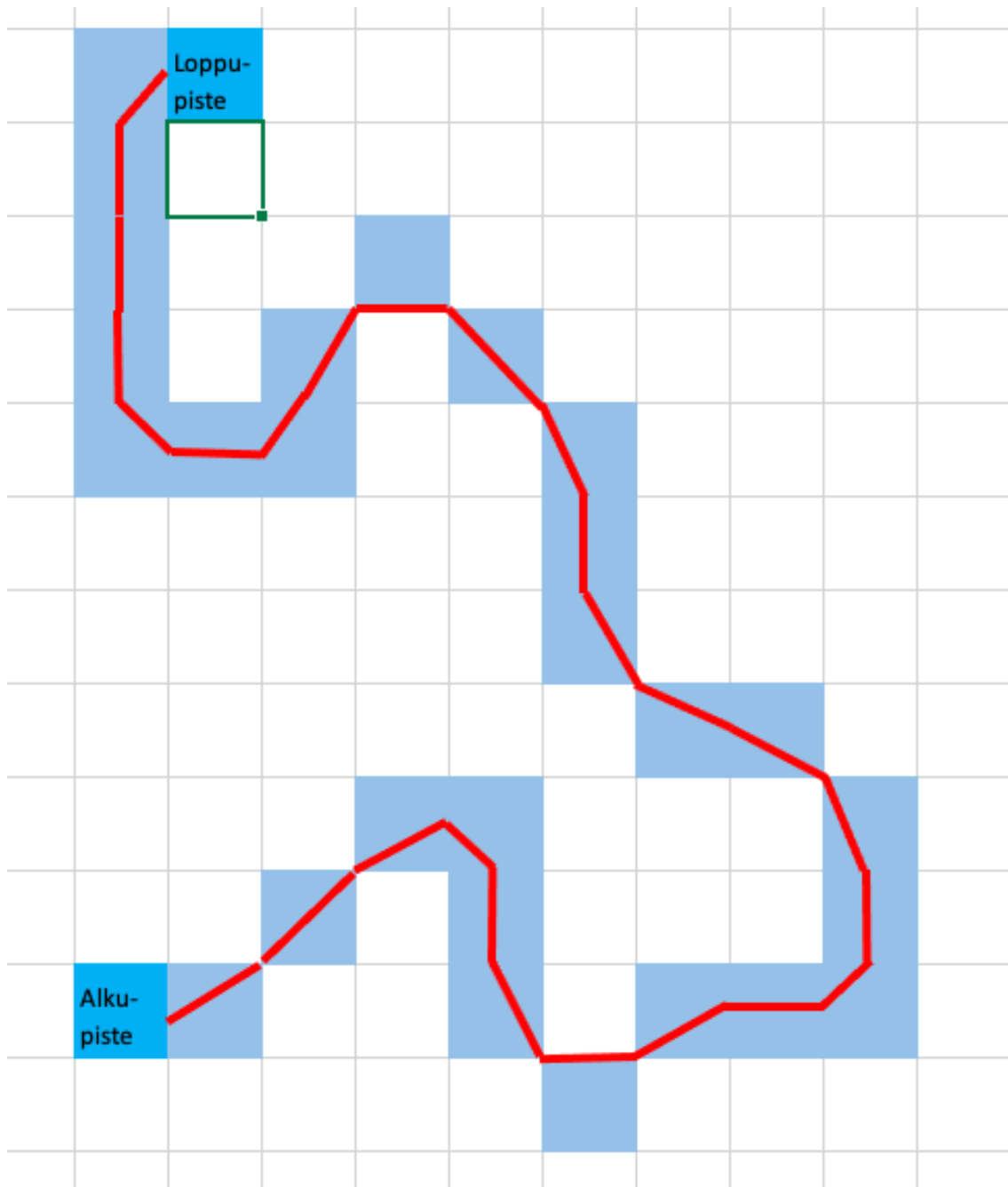
Ohjelman merkittävä ominaisuus on mahdollisuus hyödyntää käyttäjän itsensä valitsemissa oikeita karttakuvia, mikä mahdollistaa miinoitteiden arvioinnin halutulla alueella. Ohjelmalle annetaan mustavalkokuva merialueesta, jossa valkoinen alue kuvaa merialuetta ja musta alue kuvaa rajoitettua aluetta, joka voi olla esimerkiksi maata tai jotain muuta aluetta, jonka yli alukset eivät voi kulkea. Kuva käännetään MATLABissa matriisiksi, jossa kuvan kukin pikseli edustaa yhtä matriisin solua. Täten vaaka-akselin indeksointi alkaa matriisissa kuvan vasemmasta reunasta ja pystyakselin indeksointi alkaa matriisissa kuvan yläreunasta. Ohjelmalle määritellään myös skaala, joka ilmaisee, kuinka monta metriä pikselin sivu edustaa. Pikselien väri määritellään RGB-värimallilla, missä värit muodostetaan käyttämällä punaisen, vihreän ja sinisen värisävyjen kombinaatioita. MATLABissa pikselin väri määritellään kolmiulotteisella värivektorilla  $\vec{c} = (r, g, b)$ , missä  $r, g, b \in [0, 255]$  kun vektorin alkioiden luokkana käytetään 8-bittistä etumerkitöntä kokonaislukua. (Kumar ja Verma, 2010) Tällöin mustan pikselin  $\vec{c} = (0, 0, 0)$  ja valkoisen pikselin

$\vec{c} = (255, 255, 255)$ . Ohjelma muuntaa annetun kuvan kaksiväriseksi:

$$\vec{c} = \begin{cases} (0, 0, 0), & \text{jos } r \vee g \vee b < 128 \\ (255, 255, 255), & \text{muuten.} \end{cases} \quad (5)$$

Karttakuvan syöttämisen jälkeen kuvasta valitaan vähintään kaksi pikseliä, joiden välille reittejä generoidaan. Ensimmäinen valittu pikseli kuvastaa reitin alkupistettä ja viimeinen reitin loppupistettä. Mikäli pikseleitä on valittu enemmän kuin kaksi, ensimmäisen ja viimeisen pikselin väliset pikselit kuvaavat välipisteitä, joiden kautta reitit generoidaan. Tätä ominaisuutta voidaan hyödyntää tilanteissa, joissa alku- ja loppupisteen välillä on rajoitettu alue, joka ajaisi reittigeneraattorin umpikujaan. Kaikkien valittujen pikselien tulee sijoittua merialueelle.

Tämän jälkeen valittujen pisteiden välille generoidaan ohjelman käyttäjän valitsema määrä satunnaisia reittejä. Reitit generoidaan MATLABilla luodulla algoritmilla, joka valitsee satunnaisen suunnan suosien suuntaa, jotka lyhentävät matkaa seuraavaan valittuun pisteeseen. Tällä ehkäistään tilannetta, jossa algoritmi ei piirrä reittiä alkupisteestä loppupisteeseen vaan jää satunnaisesti pyörimään merialueelle. Algoritmin tapa valita reitin seuraava suunta on muutenkin perusteltua, sillä reitin mahdollisesti miinoitetulla merialueella ei tule olla liian pitkä johtuen siitä, että se kasvattaa aluksen riskiä joutua merimiinan vahingoittamaksi. Suunnan generoinnin jälkeen algoritmi generoi satunnaisen askelmäärän väliltä 1-30. Askelmäärän generoinnin jälkeen reittiä piirretään generoituun suuntaan generoidun askelmäärän verran. Mikäli kyseisessä suunnassa on rajoitettu alue generoitua askelmäärää pienemmän askelmäärän päässä, reittiä piirretään vain sallitun ja rajoitetun alueen rajalle. Tämän jälkeen algoritmi generoi uuden suunnan ja askelmäärän edellä kuvaillulla tavalla. Reitti pikselin sisällä on toteutettu suoraviivaisemmin. Pikselin sisäinen reitti koostuu noin metrin välein janalle sijoitetuista pisteistä. Jana on piirretty pikselin sisäisen alku- ja loppupisteen välille. Pikselin sisäinen alkupiste on pikselin ja aikaisemman pikselin yhteinen kulma tai yhteisen sivun keskipiste. Pikselin sisäinen loppupiste on pikselin ja seuraavan pikselin yhteinen kulma tai yhteisen sivun keskipiste. Pikselin sisäistä reittiä on kuvattu kuvassa 3. Työssä käytetyt MATLAB-koodit löytyvät työn liitteistä A, B, C ja D.

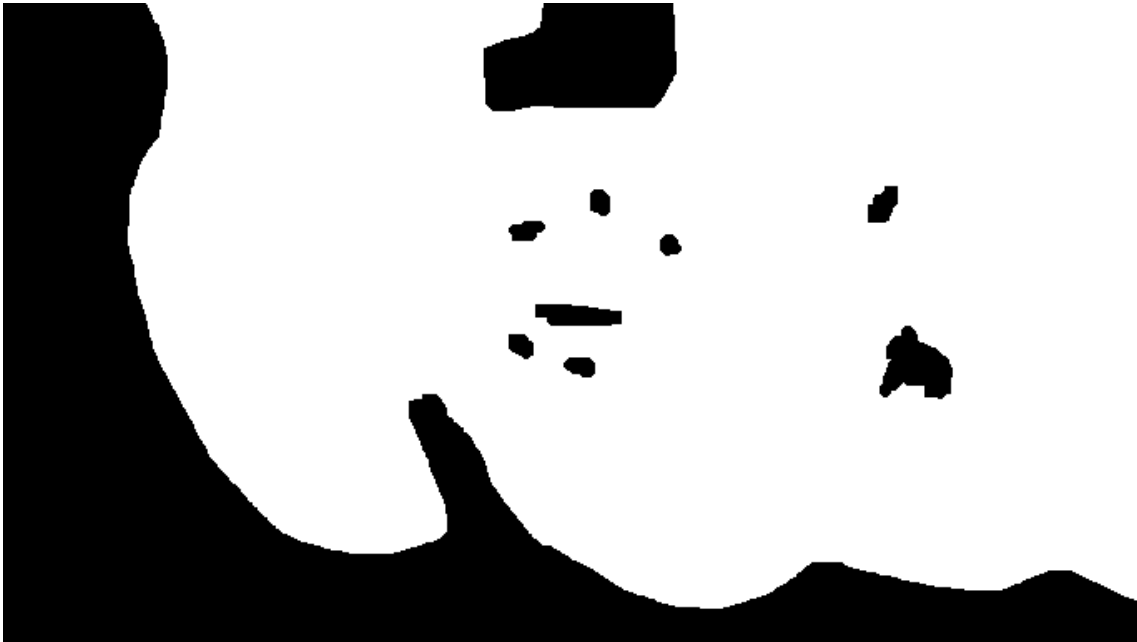


Kuva 3: Punaiset janat kuvaavat pikselien sisäistä reittiä. Siniset neliöt kuvaavat alku- ja loppupisteen välille generoitua reittiä, joka ei ole pikselien sisäisen reitin havainnoillistamisen vuoksi lyhin mahdollinen.

## 5 Esimerkki ohjelman käytöstä

Tässä osiossa kuvataan yhtä ohjelman käyttötavoista esimerkin avulla. Esimerkissä valittiin karttakuva jostakin saatavilla olleesta lähteestä. Esimerkissä käytettiin käsin piirrettyä mustavalkoista hahmotelmaa Pohjois-Koreaan sijoittuvasta Wonsanin

alueesta 4, jonka Korean sodan aikaista satama-alueen vesistön miinoittamista voidaan pitää onnistuneena, sillä se viivytti Yhdysvaltojen maihinnousua yli viikolla (Melia, 1991).

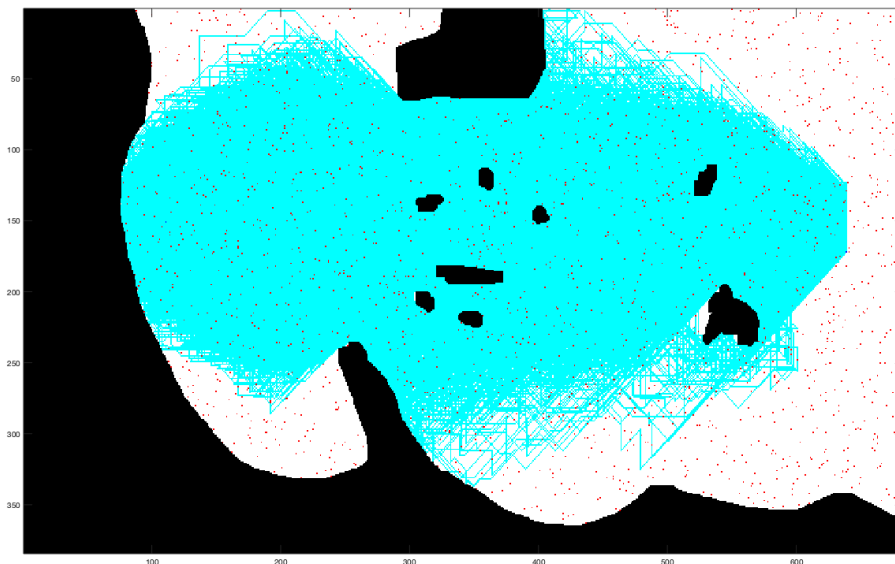


Kuva 4: Mustavalkoinen hahmotelma Wonsanin alueesta (Google).

Kuva muutettiin matriisiksi ja kuvasta valittiin kaksi satunnaista pistettä, joista toinen sijoittui lähelle rantaa ja toinen avomerelle. Vesistöön generoitiin satunnainen miinoite, jonka tehokkuutta arvioitiin. Todellisuudessa arvioitava miinoite olisi esimerkiksi asiantuntijan suunnittelema satunnaisesti generoidun miinoitteen sijaan. Esimerkkitarkastelussa luotiin satunnainen miinoite MATLAB-funktiolla MiinaGen (liite A) asettamalla miinojen lukumääräksi 2000 kpl, jokaisen miinan räjähdäineen massaksi 650 kg, herätteen kantamaksi satunnaisluku 20-40 m väliltä ja miinan syvyydeksi satunnaisluku 1-20 m väliltä. Esimerkkitarkastelussa asetettiin pääohjelman toimivalle funktiolle (liite D) aluksen raivaussäteeksi 30 m, raivaussyvyudeksi 10 m, yhden pikselin skaalaksi 20 m, jonka jälkeen generoitiin 10 000 neljän reitin sarjaa miinoitteen läpi. Ohjelma toimii siten, että yhden sarjan aikana edellisillä reiteillä räjähtäneet ja raivatut miinat poistetaan miinoitteesta.

Tämän jälkeen ajettiin funktio, joka generoi reitit ja suorittaa reittien miinakontakteihin liittyvän laskennan. Suoritukseen kului aikaa noin 5 200 sekuntia eli lähes puolitoista tuntia. Liian suuri laskenta-aika voi rajoittaa ohjelman hyödyntämistä taktisessa toiminnassa. Esimerkissä käytetty kartta ja miinoite ovat kooltaan pieniä. Toisen maailmansodan aikana Suomenlahdelle laskettiin noin 70 000 miinaa, joista noin 12 000 miinaa oli suomalaisten laskemia (Reinbach, 2007). Tarkkojen tuloksien arviointi kyseiselle alueelle ja miinoitteelle vaatisi vielä suuremman laskenta-ajan. Funktio tulostaa kuvan 5 vesistöstä, joka sisältää reiteillä ylikuljetut pikselit ja miinojen sisältämät pikselit. Miinoitteen tehokkuutta arvioivina mittareina funktio

tulostaa kullakin miinoitteen läpäisykerralla koettujen vahinkokategorioiden esiintymien keskiarvon, raivattujen miinojen keskiarvon ja Simple Initial Threatin (SIT) eli todennäköisyyden sille, että ensimmäinen miinoitteen läpäisevä alus vahingoittuu tai uppoaa. Laskennan tulokset ovat taulukossa 3. Lisäksi funktio tulostaa uhrijakauman kullekin läpäisykerralle, joita on esitelty kuvassa 6. Taulukosta 3 havaitaan, että SIT, raivattujen miinojen lukumäärä ja kaikki vahinkokategorioiden esiintyvyydet laskevat läpäisykertojen kasvaessa, mikä on ymmärrettävää, sillä miinoitteesta poistetaan aiemmilla reiteillä räjähtäneet ja raivatut miinat. Reittien väliset erot ovat kuitenkin suhteellisen pieniä johtuen miinoitteen miinojen lukumäärästä, joka on verrattain suuri reiteillä keskimäärin esiintyviin miinakontakteihin nähden. Lisäksi reiteillä ei esiinny vahinkokategorioiden 0 ja 0.25 räjähdyskäsiä, mikä johtuu siitä, että miinojen herätteen kantama oli lyhyt verrattuna räjähdäaineen massa. Tämä tulos voidaan tulkita miinoitteelle positiiviseksi, sillä jokainen räjähtänyt miina aiheutti vähintään alusta merkittävästi vahingoittaneen paineiskun.

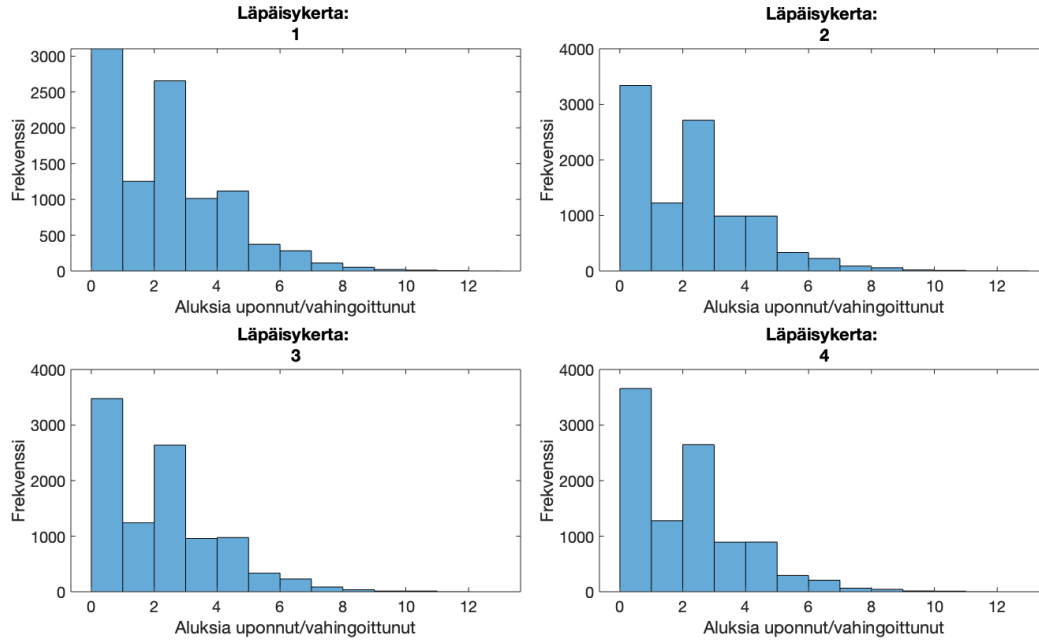


Kuva 5: 10 000 generoitua reittiä Wonsanin satama-alueen vesistöissä. Ylikuljetut pikselit on värjätty turkoosilla ja miinan sisältävät pikselit punaisella. Yhden pikselin leveys kuvassa vastaa 20 metriä.



Taulukko 3: Neljän reitin sarjan miinakontaktien keskiarvo jaoteltuna vahinkokategorioihin ja raivauksiin.

Läpäisykerta	$D = 0$	$D = 0.25$	$D = 0.5$	$D = 0.75$	$D = 1$	raivatut	SIT
1	0	0	0.7674	1.0342	0.1197	11.4016	0.6897
2	0	0	0.7199	0.969	0.1156	10.7733	0.6659
3	0	0	0.6961	0.94255	0.1075	10.2862	0.6523
4	0	0	0.6623	0.8954	0.0979	9.6848	0.6343



Kuva 6: Miinoitteen uhrijakauma neljällä reitillä kun aikaisemmillä reiteillä räjähtäneet ja raivatut miinat ovat poistettu miinoitteesta. Kussakin histogrammissa on 10 000 simulaatiota.

## 6 Yhteenveto

Työssä tutustuttiin erilaisiin merimiinatyyppisiin, miinanraivaukseen ja merimiinoitteen mallintamisen historiaan. Lisäksi työn tavoitteena oli luoda ohjelmisto, jolla pystytään arvioimaan miinoituksen tehokkuutta käyttäjän valitsemalla kartalla. Ohjelmiston miinojen ja alusten välisiä vuorovaikutuksia varten luotiin malli, jonka pohjana käytettiin Uncountered Minefield Planning Model (UMPM) -mallia, jossa miinan ja aluksen välinen etäisyys otetaan huomioon miinan räjähdysaiheuttamassa vahinkoa arvioitaessa. Arviointimenetelmänä käytettiin Monte Carlo-simulaatiota, jossa generoitiin suuri määrä reittejä miinoitetussa vesistöissä. Ohjelmisto generoi reitit yksinkertaisella algoritmilla, joka valitsee satunnaisen suunnan ja askelmäärän suosien suuntia, jotka lyhentävät etäisyyttä määränpään. Miinan

räjähdyksessä aluksen kokemaa vahinkoa arvioitiin räjähdysten tuottaman paineiskun ja kaasukuplan avulla.

Ohjelmiston käyttäjä voi arvioida vapaasti valittavalle alueelle suunniteltua miinoitetta syöttämällä ohjelmistolle listan parametreja, johon kuuluu haluttu karttakuva, lista reitin alku-, väli- ja loppupisteistä, lista miinoista, aluksen raivaussäde ja -syvyys sekä generoitavien reittien lukumäärä. Ohjelmisto tulostaa karttakuvan, johon on piirretty generoidut reitit ja miinojen sijainnit pikselin tarkkuudella. Karttakuva mahdollistaa silmämääräisen tarkastelun, jolla voidaan varmistaa, onko miinojen sijainti haluttu ja onko generoitujen reittien hajonta halutun suuruinen. Lisäksi ohjelmisto tulostaa kullakin miinoitteen läpäisykerralla koettujen vahinkokategorioiden esiintymien keskiarvon, raivattujen miinojen keskiarvon, Simple Initial Threat -tunnusluvun ja uhrijakaumaa kuvaavan histogrammin. Kyseiset tulosteet tarjoavat monipuolista tietoa miinoitteen tehokkuudesta.

Miinoitteen tehokkuuden arviointi ei ole yksiselitteistä ja siksi käytettäviä tehokkuusmittareita on useita. Lisäksi Monte Carlo -simulaatiossa on punnittava, mikä on riittävä iteraatioiden lukumäärä. Iteraatioiden lukumäärän kasvattaminen parantaa tehokkuusmittarien tarkkuutta, mutta samalla laskenta-aika kasvaa. Testauksessa miinoituksen tehokkuuden arviointi osoittautuikin laskennallisesti raskaaksi, kun arviointimenetelmänä käytettiin Monte Carlo -simulaatiota. Ohjelmaa voisi parantaa muodostamalla miinojen herätekäyrät, jotka noudattavat fysikaalisia ilmiöitä, kuten esimerkiksi ääniaallon etenemistä vedessä. Tällöin voitaisiin määritellä aluksille ominaiset herätejäljet, jolloin simulaatio voitaisiin suorittaa useilla alustyypeillä.

## Viitteet

- [Reinbach, 2007] Indrek Reinbach, Miinantorjunnan nykytila ja kehityssuunnat Itämerellä, Pro gradu -tutkielma, Maanpuolustuskorkeakoulu, Helsinki, 2007
- [Romberger, 1996] David D Romberger, Optimization methods for mixed minefield clearance, Master's Thesis, Naval Postgraduate School, Monterey California, 1996
- [Levie, 1992] Howard S. Levie, Mine Warfare at Sea, Martinus Nijhoff Publishers, Netherlands, 1992
- [Washburn ja Kress, 2009] A. Washburn ja M. Kress, Combat Modeling, Springer Science & Business Media, United States, 2009
- [Washburn, 1995] A. Washburn, MIXER: A TDA for Mixed Minefield Clearance, Naval Postgraduate School, 1995
- [Timothy ja Floore, 2011] T. E. Floore ja G. H. Gilman, Design and Capabilities of an Enhanced Naval Mine Warfare Simulation Framework., Proceedings of the 2011 Winter Simulation Conference
- [Redmayne, 1996] J.C.J Redmayne, Evaluation of Mine Threat, SACLANT Undersea Research Centre, 1996
- [Szturomski, 2015] B. Szturomski, The Effect of an Underwater Explosion on a Ship, Scientific Journal of Polish Naval Academy, volyymi 201, numero 2, sivut 57-73, 2015
- [Merisotilaan käsikirja, 2010] Merivoimien esikunta, Merisotilaan käsikirja, Edita Prima Oy, Helsinki, 2010
- [Kiciński ja Szturomski, 2020] R. Kiciński ja B. Szturomski, Pressure Wave Caused by Trinitrotoluene (TNT) Underwater Explosion—Short Review, Applied Sciences, volyymi 10, numero 10, sivu 3433, 2020  
<https://doi.org/10.3390/app10103433>
- [Keil, 1961] A.H. Keil, The Response of Ships to Underwater Explosions, Reprint of Paper Presented at The Annual Meeting, Society of Naval Architects and Marine Engineers, 1961
- [Geers ja Hunter, 2001] T. L. Geers ja K. S. Hunter, An integrated wave-effects model for an underwater explosion bubble, Department of Mechanical Engineering, University of Colorado, Colorado, 2001
- [Kumar ja Verma, 2010] T. Kumar ja K. Verma, A Theory Based on Conversion of RGB image to Gray image, International Journal of Computer Applications, volyymi 7, numero 2, sivut 7-10, 2010

[Google] Hahmotelman luomisessa käytetty kuva Wonsanista, Google Maps,  
<https://www.google.fi/maps/place/Wŏnsan,+Kangwŏn,+Pohjois-Korea/@39.2354021,127.4603398,12.31z/data=!4m5!3m4!1s0x5fd7056d015e34fd:0x547c2226d8a09bd5!8m2!3d39.1538529!4d127.4460001>

[Melia, 1991] T. Melia, Damn the Torpedoes: A Short History of U.S. Naval Mine Countermeasures, 1777-1991, Contributions To Naval History, 4. painos, Naval Historical Center, Department of the Navy, 1991

## Liitteet

### A) MiinaGen

```

1 function generator = miinaGen(lkm, vesisto, rajahdekg,
   herateRange, ...
2     maxSyvyys)
3     maxY=size(vesisto,1);
4     maxX=size(vesisto,2);
5     % Muutetaan kuva mustavalkoiseksi
6     for i = 1:maxY
7         for j = 1:maxX
8             if max(vesisto(i,j,:)) < 128 % 0 on musta, 255
               valkoinen
9                 vesisto(i,j,:) = [0,0,0]; %musta
10            else
11                vesisto(i,j,:) = [255,255,255]; %valkoinen
12            end
13        end
14    end
15    i = 1;
16    output = zeros(0,5);
17    while i <= lkm
18        randY = randi([1,maxY],1)+rand;
19        randX = randi([1,maxX],1)+rand;
20        randZ = randi([1, maxSyvyys],1)+rand;
21        if vesisto(floor(randY),floor(randX)) ~= 0
22            herate = randi([herateRange(1),herateRange(2)
23                ],1);
24            output(i,:) = [randY,randX,randZ, rajahdekg,
25                herate];
26            i = i + 1;
27        end
28    end
29    generator = output;
30 end

```

### B) reittiGen

```

1 function path = reittiGen(coordinate_list, map)
2 %neighbors
3 maxY=size(map,1);
4 maxX=size(map,2);
5 list = zeros(0,2);
6 listLength = size(coordinate_list,1);
7 stepper = 1;

```

```

8 index = 1;
9 while stepper < listLength
10     currenty = coordinate_list(stepper, 1);
11     currentx = coordinate_list(stepper, 2);
12     endy = coordinate_list(stepper+1, 1);
13     endx = coordinate_list(stepper+1, 2);
14     while pdist([currenty, currentx; endy, endx], 'euclidean')
15         ~= 0
16             %         ydifference = endy-currenty;
17             %         xdifference = endx-currentx;
18
19             dirMat = zeros(8,2);
20             dirMat(1,:) = [currenty-1, currentx]; %north
21             dirMat(2,:) = [currenty-1, currentx+1]; %northeast
22             dirMat(3,:) = [currenty, currentx+1]; %east
23             dirMat(4,:) = [currenty+1, currentx+1]; %southeast
24             dirMat(5,:) = [currenty+1, currentx]; %south
25             dirMat(6,:) = [currenty+1, currentx-1]; %southwest
26             dirMat(7,:) = [currenty, currentx-1]; %west
27             dirMat(8,:) = [currenty-1, currentx-1]; %northwest
28             %check suitable directions
29             i = 1;
30             %valitaan feasiblelet
31             while i <= size(dirMat,1)
32                 if dirMat(i,1) > maxY || dirMat(i,1) < 1 ||
33                     dirMat(i,2) > maxX ...
34                     || dirMat(i,2) < 1 || map(dirMat(i,1), dirMat(
35                         i,2)) == 0
36                     dirMat(i,:) = [];
37                     i = i - 1;
38                 end
39                 i = i + 1;
40             end
41
42             %jaotellaan feasiblelet matkaa lyhentaviksi ja matkaa
43             ei lyhetaviksi
44             dirMat2 = zeros(0,2);
45             i = 1;
46             j = 1;
47             while i <= size(dirMat,1)
48                 if pdist([dirMat(i,1), dirMat(i,2); endy, endx]) >=
49                     ...
50                     pdist([currenty, currentx; endy, endx])
51                     dirMat2(j,:) = dirMat(i,:);
52                     j = j + 1;

```

```

48         dirMat(i,:) = [];
49         i = i - 1;
50     end
51     i = i + 1;
52 end
53 % Suositaan matkaa lyhentavia suuntia
54 if size(dirMat,1) > 0
55     nS = dirMat(randi([1, size(dirMat,1)]),:);
56 else
57     nS = dirMat2(randi([1, size(dirMat2,1)]),:);
58 end
59 % Valtetaan siirtymista suuntaan, josta ollaan saavuttu
60 if index > 2
61     t = 1;
62
63     while (pdist([nS(1),nS(2);list(index-2,1),list(index
64         -2,2)]) == 0) ...
65         && t < 20
66         if size(dirMat,1) > 1
67             nS = dirMat(randi([1, size(dirMat,1)]),:);
68         else
69             nS = dirMat2(randi([1, size(dirMat2,1)]),:);
70         end
71         t = t + 1;
72     end
73 end
74 d = nS - [currenty, currentx];
75 sameDirection = 0;
76 maxSameDirection = randi([1,30]);
77 clutch = 0;
78 while ( sameDirection < maxSameDirection && (currenty + d(1)
79     ) ...
80     < maxY && (currenty + d(1)) > 1 && (currentx + d(2))
81     ...
82     < maxX && (currentx + d(2)) > 1 && ...
83     map(currenty + d(1),currentx + d(2)) ~= 0 ...
84     && ((pdist([endy,endx;currenty, currentx]) >= ...
85     (maxSameDirection-sameDirection))) )
86     currenty = currenty + d(1);
87     currentx = currentx + d(2);
88     list(index,:) = [currenty, currentx];
89     index = index + 1;
90     sameDirection = sameDirection + 1;
91     clutch = 1;

```

```

90 end
91 if clutch == 0
92     currenty = currenty + d(1);
93     currentx = currentx + d(2);
94     list(index,:) = [currenty, currentx];
95     index = index + 1;
96     sameDirection = sameDirection + 1;
97 end
98
99
100     end
101
102
103 stepper = stepper + 1;
104 end
105 path = list;
106 end

```

### C) mineCalculation

```

1 function [vahinko, raivaukset] = mineCalculation(reitti,
2     miina, raivaus, ...
3     skaala)
4     % miinan params: x,y,z-koords, rajahdekg, heratteen
5     % kantama
6     tiheys = 1520;
7     vahinko = [0,0,0,0,0]; %0, 0.25, 0.5, 0.75, 1;
8     raivaukset = 0;
9     reittiS = reitti;
10    reittiS(:,3) = 1; %reitin syvyys = 1
11    %reitin ja miinan i pienin etaisyyt
12    [k, dist] = dsearchn(reittiS, miina(1:3));
13    [s, dist2d] = dsearchn(reitti, miina(1:2));
14    if k > 1 && k < size(reitti,1)
15        ts = reitti(k,:)-reitti(k-1,:);
16        ms = reitti(k+1,:)-reitti(k,:);
17        ap = reitti(k,:);
18        % Maaritetaan pikselin ylityksen alkupiste
19        if ts(1) == -1
20            if ts(2) == -1
21                ap = reitti(k,:) + [1,1];
22            end
23            if ts(2) == 0
24                ap = reitti(k,:) + [1,1/2];
25            end

```



```

24         if ts(2) == 1
25             ap = reitti(k,:) + [1,0];
26         end
27     end
28
29     if ts(2) == 0
30         if ts(2) == -1
31             ap = reitti(k,:) + [1/2, 1];
32         end
33         if ts(2) == 1
34             ap = reitti(k,:) + [1/2, 0];
35         end
36     end
37
38     if ts(1) == 1
39         if ts(2) == -1
40             ap = reitti(k,:) + [0, 1];
41         end
42         if ts(2) == 0
43             ap = reitti(k,:) + [0, 1/2];
44         end
45         if ts(2) == 1
46             ap = reitti(k,:) + [0, 0];
47         end
48     end
49
50     % Maaritetaan pikselin ylityksen loppupiste
51     lp = reitti(k,:);
52
53     if ms(1) == -1
54         if ms(2) == -1
55             lp = reitti(k,:) + [0,0];
56         end
57         if ms(2) == 0
58             lp = reitti(k,:) + [0,1/2];
59         end
60         if ms(2) == 1
61             lp = reitti(k,:) + [0,1];
62         end
63     end
64
65     if ms(2) == 0
66         if ms(2) == -1
67             lp = reitti(k,:) + [1/2, 0];
68         end

```

```

69         if ms(2) == 1
70             lp = reitti(k,:) + [1/2, 1];
71         end
72     end
73
74     if ms(1) == 1
75         if ms(2) == -1
76             lp = reitti(k,:) + [1, 1];
77         end
78         if ms(2) == 0
79             lp = reitti(k,:) + [1, 1/2];
80         end
81         if ms(2) == 1
82             lp = reitti(k,:) + [1, 0];
83         end
84     end
85
86     suunta = lp-ap;
87     reittiPikselissa = zeros(skaala+1,2);
88     j = 1;
89
90     for step = 0:1/skaala:1
91         reittiPikselissa(j,:) = ap + step*suunta;
92         j = j+1;
93     end
94
95     reittiPikselissa(:,3) = 1;
96     [k, dist] = dsearchn(reittiPikselissa, miina
97         (1:3));
98     [s, dist2d] = dsearchn(reittiPikselissa(:,1:2),
99         miina(1:2));
100
101     end
102     paine = 0;
103     if (skaala*dist) <= miina(5) %miina rajahtaa
104         Rpmax = 1.53*(miina(4)/(1+0.1*miina(3)))
105             ^ (1/3);
106         if (skaala*miina(5)) <= Rpmax
107             vahinko(5) = 1;
108
109             a = (3*miina(4)/(4*pi*tiheys))^(1/3)
110                 ;
111             paine = 10*1420*(a/miina(5))^1.13;
112         else
113             a = (3*miina(4)/(4*pi*tiheys))^(1/3);
114             paine = 1420*(a/miina(5))^1.13;

```

```

110         end
111         if paine >= 16
112             vahinko(5) = 1;
113         end
114         if paine < 16
115             vahinko(4) = 1;
116         end
117         if paine < 12 && paine >= 8
118             vahinko(3) = 1;
119         end
120         if paine < 8 && paine >= 4
121             vahinko(2) = 1;
122         end
123         if paine < 4
124             vahinko(1) = 1;
125         end
126     end
127
128     if paine == 0
129         if (skaala*dist2d) <= raivaus(1) && miina
130             (3) < raivaus(2)
131                 raivaukset = 1;
132         end
133     end
134 end

```

## D) minefieldSim

```

1 function kApp = minefieldSim(lista , miinat , raivaus , kuva ,
2     lapaisykerrat , ...
3     reititlkm ,skaala)
4     vesisto = imread(kuva);
5     maxY=size(vesisto ,1);
6     maxX=size(vesisto ,2);
7     % Muutetaan kuva mustavalkoiseksi
8     for i = 1:maxY
9         for j = 1:maxX
10            if max(vesisto(i,j,:)) < 128 % 0 on musta, 255
11                valkoinen
12                vesisto(i,j,:) = [0,0,0]; %musta
13            else
14                vesisto(i,j,:) = [255,255,255]; %valkoinen
15            end
16        end
17    end

```

```

15     end
16
17     kytkin = 0;
18     %varmistetaan etta pisteet ja miinat kuvassa
19     if min(lista(:,1)) < 1 || max(lista(:,1)) > maxY...
20         || min(lista(:,2)) < 1 || max(lista(:,2)) > maxX...
21         || floor(min(miinat(:,1))) < 1 || floor(max(miinat
22             (:,1))) > maxY...
23         || floor(min(miinat(:,2))) < 1 || floor(max(miinat
24             (:,2))) > maxX...
25         kytkin = 1;
26         disp("Valitut pisteet tai miinat ovat koordinaatiston
27             ulkopuolella")
28     end
29
30     if kytkin == 0
31         %varmistetaan etta pisteet vesistossa
32         for i = 1:size(lista,1)
33             if vesisto(lista(i,1),lista(i,2)) == 0
34                 kytkin = 1;
35                 disp("Jokin valituista pisteist? on
36                     rajoitetulla alueella")
37             end
38         end
39     end
40
41     if kytkin == 0
42         %varmistetaan etta miinat vesistossa
43         for i = 1:size(miinat,1)
44             if vesisto(floor(miinat(i,1)),floor(miinat(i,2))
45                 ) == 0
46                 [miinat(i,1),miinat(i,2)]
47                 kytkin = 1;
48                 disp("Jokin miinoista on rajoitetulla
49                     alueella")
50             end
51         end
52     end
53
54     % Jos pisteet ja miinat ok, voidaan generoida reitit ja
55     laskea
56     % miinakontaktit
57     if kytkin == 0
58         vesistoOut = vesisto;

```

```

53 %           % Lasketaan reittien vaarallisuus ottaen huomiion
aikaisemmat
54 %           % lapaistut reitit ja niilla putsatut miinat
55     laskelmatReps = zeros(lapaisykerrat ,6);
56     SIT = zeros(lapaisykerrat ,1);
57     CD = zeros(reititlkm ,lapaisykerrat);
58     for s = 1:reititlkm
59         miinatMod = miinat;
60         laskelmat = zeros(lapaisykerrat ,6);
61         for i = 1:lapaisykerrat
62             reitti = reittiGen(lista , vesisto);
63             if i == 1
64                 for j = 1:length(reitti)%Merkitaan reitit
kuvaan turkoosilla
65                     vesistoOut(reitti(j,1),reitti(j,2)) = 1;
66                 end
67             end
68
69             % lasketaan reitin keskiarvoistetut
miinakontaktit ja
70             % poistetaan
71             % rajahtaneet/raivatut
72             j = 1;
73             while j <= size(miinatMod,1)
74                 [vahinko , raivatut] =...
75                     mineCalculation(reitti , miinatMod(j,:) ,
raivaus ,skaala);
76                 if max(vahinko) ~= 0 || raivatut ~= 0
77                     miinatMod(j,:) = [];
78                     laskelmat(i,:) = laskelmat(i,:) + [
vahinko , raivatut];
79                     j = j - 1;
80                 end
81                 j = j + 1;
82             end
83             if sum(laskelmat(i,2:5)) > 0
84                 SIT(i) = SIT(i) + 1;
85             end
86             CD(s,i) = sum(laskelmat(i,2:5));
87         end
88         laskelmatReps = laskelmatReps + laskelmat;
89     %         if i == 1
90     %             CD(s,i) = sum(laskelmat(i,2:5));
91     %         end
92     end

```

```

93 %SIT
94 SIT = SIT/reititlkm;
95 reitti = [1:lapaisykerrat]';
96 laskelmatReps = laskelmatReps/reititlkm;
97 tulokset = [reitti, laskelmatReps];
98 %disp(["SIT: ", SIT])
99 disp(["L p isykerta", "ei vahinkoa KA", "vahinko
100 0.25 KA", ...
101 "vahinko (0.5) KA", "vahinko (0.75) KA", "vahinko
102 (1) KA", ...
103 "raivatut KA", "SIT"; tulokset, SIT])
104 for j = 1:length(miinat) % Merkitaan miinat kuvaan
105 punaisella
106 vesistoOut(floor(miinat(j,1)), floor(miinat(j,2))
107 ,:) = [255,0,0];
108 end
109 for j = 1:length(lista) % Merkitaan pisteet kuvaan
110 sinisella
111 vesistoOut(lista(j,1), lista(j,2), :) = [0,0,255];
112 end
113 image(vesistoOut);
114 disp(["Alku- ja loppupisteen valinen etaisyyys (m)
115 ", ...
116 skaala*pdist([lista(1,1), lista(1,2); lista(end,1),
117 lista(end,2)])])
118 disp(["Miinojen lkm: ", length(miinat)])
119 figure;
120 t = tiledlayout(ceil(lapaisykerrat/2),2); % Requires
121 R2019b or later
122 for i = 1:lapaisykerrat
123 nexttile
124 histogram(CD(:,i), [0:1:max(CD, []), 'all']);
125 xlabel('Aluksia uponnut/vahingoittunut', '
126 FontSize',30)
127 ylabel('Frekvenssi', 'FontSize',30)
128 title(["L p isykerta: ", i], 'FontSize',30);
129 set(gca, 'FontSize',20)
130 end
131 end
132 end
133 end
134 end

```